

УДК 537.311.32

## ОСОБЕННОСТИ НИЗКОТЕМПЕРАТУРНОЙ ПРОВОДИМОСТИ И МАГНИТОСОПРОТИВЛЕНИЯ АМОРФНЫХ ПЛЕНОК СИСТЕМЫ ГЕРМАНИЙ—ХРОМ

*A. Н. Алешин, A. Н. Ионов, P. B. Парфеньев, I. С. Шлимак,  
A. Хайнрих,<sup>1</sup> I. Шуманн,<sup>1</sup> D. Элефант<sup>1</sup>*

Исследована низкотемпературная проводимость и магнитосопротивление (МС) аморфных пленок  $Ge_{1-x}Cr_x$ . Обнаружено проявление упорядочения типа спинового стекла при низких температурах: в образцах с  $x=8\div 9$  ат. % при  $T < 1.0$  К наблюдалась смена механизмов проводимости — от прыжковой проводимости с переменной длиной прыжка к проводимости с постоянной энергией активации  $\Delta$ . Показано, что включение магнитного поля ведет к «размытию»  $\Delta$ , что обусловливает отрицательное МС.

Целью настоящей работы явилось исследование на примере аморфных пленок  $Ge_{1-x}Cr_x$  влияния магнитной примеси — хрома, обладающей нескомпенсированным магнитным моментом, на низкотемпературную проводимость и магнитосопротивление в окрестности перехода металл—диэлектрик.

Аморфные пленки  $Ge_{1-x}Cr_x$  были получены методом электронно-лучевого испарения на кремниевые подложки, находящиеся при температуре 300 К [<sup>1</sup>]. Давление в камере во время напыления составляло  $10^{-4}$  Па, толщина пленок была порядка 300 нм. Концентрация хрома определялась методом рентгеноструктурного анализа (*EDXS*), она изменялась от 5 до 17 ат. %, варьировалась также скорость напыления от 0.2 до 6 нм/с. Контакты к образцам формировались напылением золотых площадок, к которым серебряной пастой крепились подводящие провода.

На рис. 1 приведены температурные зависимости омической проводимости  $\sigma(T)$  исследованных образцов в аррениусовском масштабе. Как видно из рисунка, по мере увеличения содержания хрома наблюдается переход из диэлектрического в металлическое состояние (при  $x_c > 12$  ат. %),<sup>2</sup> причем для металлического состояния характерно отсутствие (с точностью 1.6 и 0.2 % для образцов 6 и 7 соответственно) зависимости проводимости от температуры в интервале 4.2–0.45 К. Для менее легированных образцов на диэлектрической стороне перехода вплоть до температуры  $\sim 1.0$  К наблюдается активационная проводимость с непрерывно уменьшающейся энергией активации. Такое поведение температурной зависимости проводимости  $Ge_{1-x}Cr_x$  сходно с поведением  $\sigma(T)$  в других аморфных пленках [<sup>3</sup>], в частности, в сплаве  $Ge_{1-x}Cu_x$  [<sup>4</sup>]. Однако с понижением температуры ( $T < 1.0$  К) у образцов 2 и 3  $Ge_{1-x}Cr_x$ , находящихся на диэлектрической стороне перехода, появляется постоянная энергия акти-

<sup>1</sup> Центральный институт физики твердого тела и материаловедения АН ГДР, г. Дреаден.

<sup>2</sup> Анализ зависимости проводимости  $\sigma$  при  $T=4.2$  К показал, что величина  $\sigma$  (4.2 К) для образцов системы кремний—хром [<sup>2</sup>] и германий—хром с одинаковыми значениями  $x$  практически совпадает. Это указывает на определяющую роль атомов металла в формировании зоны, по которой осуществляется проводимость.

вации, которая не наблюдается у аморфных сплавов  $\text{Ge}_{1-x}\text{Cu}_x$ . Смена механизма проводимости хорошо видна из анализа температурной зависимости приведенной энергии активации [5] (рис. 2). Видно, что для образцов 2 и 3 в интервале температур  $300 \div 1.0$  К проводимость описывается выражением

$$\sigma(T) = \sigma(0) \exp \left[ -\left(\frac{T_0}{T}\right)^m \right]$$

с  $m \approx 0.5$ . Величина  $m=0.5$  свидетельствует в пользу механизма прыжковой про-

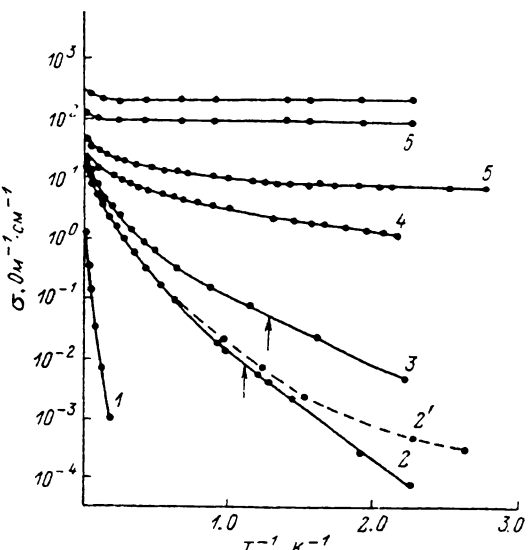


Рис. 1. Температурная зависимость проводимости аморфных пленок  $\text{Ge}_{1-x}\text{Cr}_x$ .

Цифры у кривых соответствуют номерам образцов, отличающихся содержанием хрома,  $x$ , ат. %: 1 — 5.3, 2 — 8.7, 3 — 8.8, 4 — 10.9, 5 — 11.9, 6, 7 — 17. 2 — образец 2 при  $H=54$  кЭ. Стрелки соответствуют началу проводимости с постоянной энергией активации.

водимости с переменной длиной прыжка при наличии параболической «мягкой» щели на уровне Ферми, обусловленной кулоновским взаимодействием [6]. В этом случае  $T_0=2.7 e^2/\pi a$ , где  $\pi$  — диэлектрическая проницаемость, а  $a$  — радиус локализации волновой функции.

В интервале от 1.0 до 0.8 К наблюдается переходный процесс, а при  $T \leqslant 0.8$  К  $m \approx 1$ , что и соответствует постоянной энергии активации  $\Delta$ . При этом для образца 2  $\Delta=0.4$  мэВ, а для образца 3  $\Delta=0.23$  мэВ.

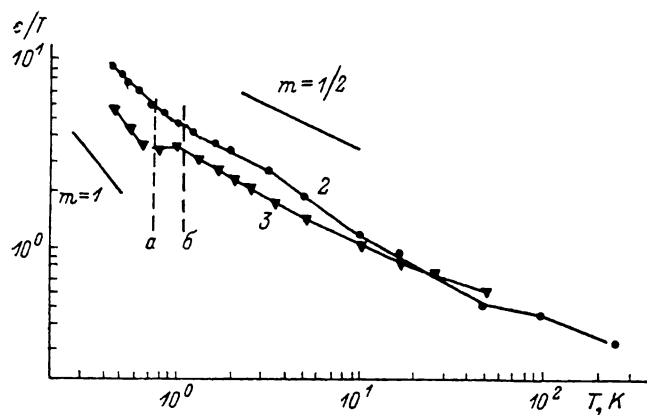


Рис. 2. Температурная зависимость приведенной энергии активации  $E/T$  для образцов 2 и 3, а—б — переходная область.

Обнаруженной смены механизмов проводимости в такой последовательности ранее не наблюдалось: наоборот, механизм проводимости с постоянной энергией активации должен сменяться с понижением температуры проводимостью со «скользящей» энергией активации, поскольку прыжковая проводимость по состояниям все более близким к уровню Ферми является, согласно теоретической модели Мотта, последним механизмом при  $T \rightarrow 0$  [7].

Исследование магнитосопротивления (МС) образцов  $a=\text{Ge}_{1-x}\text{Cr}_x$  на диэлектрической стороне перехода показало, что в области  $4.2 \div 2.0$  К наблюдается небольшое положительное МС (ПМС), слабо зависящее от

температуры. При  $1.0 < T < 2.0$  К ПМС уменьшается по абсолютной величине, а при  $T \leq 1.0$  К магнитосопротивление становится отрицательным (ОМС), достигая для образца 2 при  $T=0.38$  К и  $H=60$  кЭ —

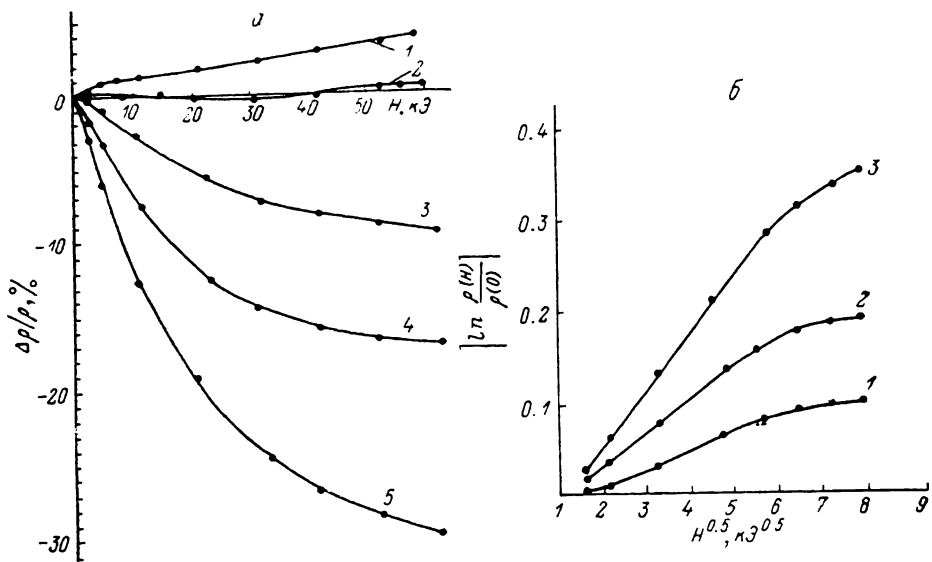


Рис. 3.

а — магнитосопротивление образца 4 при различных температурах.  $T$ , К: 1 — 2.1, 2 — 1.54, 3 — 0.97, 4 — 0.63, 5 — 0.47. б — зависимость  $\ln \frac{\rho(H)}{\rho(0)}$  от  $H^{0.5}$  для образца 4 при различных температурах.  $T$ , К: 1 — 0.97, 2 — 0.63, 3 — 0.47.

90 % (что соответствует возрастанию проводимости в  $\sim 10$  раз). В нашем эксперименте в максимальных магнитных полях (60 кЭ) насыщения эффекта ОМС достигнуто не было, хотя тенденция к нему наблюдается (рис. 3, а). Анализ изменения величины  $\ln \frac{\rho(H)}{\rho(0)}$  от  $H$  показал, что в полях  $H = 2 \div 30$  кЭ —  $\ln \frac{\rho(H)}{\rho(0)} \sim H^{0.5}$  (рис. 3, б). При этом в магнитных полях изменяется характер зависимости  $\sigma(T)$ . Вместо  $\rho(T)$  с постоянной энергией активации наблюдается проводимость с плавно уменьшающейся энергией активации (рис. 1, штрихи —  $\sigma(T)$  при  $H=54$  кЭ). Анализ концентрационной зависимости эффекта ОМС показывает, что с увеличение

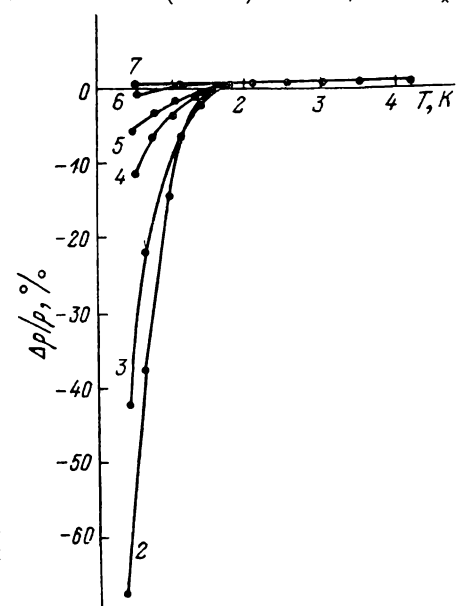


Рис. 4. Температурная зависимость магнитосопротивления образцов  $Ge_{1-x}Cr_x$  при  $H=10$  кЭ.

Цифры у кривых соответствуют номерам образцов.

нием содержания хрома и приближении к переходу металл—диэлектрик величина ОМС при фиксированных  $H$  и  $T$  уменьшается, переход к ОМС наступает при более низких температурах (рис. 4). Для образцов на металлической стороне перехода наблюдается гистерезис МС (рис. 5, обр. 6,  $T=0.45$  К).

Наблюдаемые эффекты (поведение  $\sigma(T)$  и ОМС при низких температурах), по-видимому, можно объяснить тем, что в аморфной системе  $Ge_{1-x}Cr_x$  при  $T < 1.0$  К происходит магнитное упорядочение типа спиновое стекло в примесной зоне, образованной хромом. Таким образом, на электрон-электронное взаимодействие, приводящее к «мягкой» кулоновской щели в спектре плотности состояний, накладывается магнитное взаимодействие, приводящее к «жесткой» магнитной щели.

Одна из вероятных причин возникновения магнитной щели связана с тем, что электрону для прыжка необходимо преодолеть энергию обменного взаимодействия, связанную с влиянием на дырку ближайшего электронного окружения. При магнитном упорядочении типа спинового стекло и без учета спин-орбитального взаимодействия происходит отбор элект-

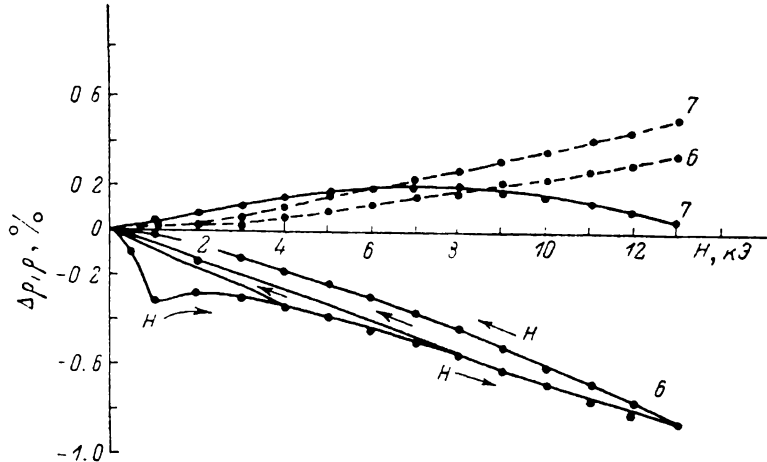


Рис. 5. Магнитосопротивление образцов 6 и 7, находящихся на металлической стороне перехода металл—диэлектрик, при различных температурах: штриховая — 1.1 К, сплошная — 0.45 К.

ронов, участвующих в прыжках по ориентации спина. В таком случае внешнее магнитное поле, приводящее к переориентации спинов в одном направлении, должно «размывать» образовавшуюся щель, что и приводит к большому ОМС. Такое «размытие» щели, как видно из рис. 1, проявляется в исчезновении постоянной энергии активации в зависимости  $\sigma(T)$  и в переходе к проводимости со «скользящей» энергией активации. Уменьшение эффекта ОМС при фиксированной температуре, которое наблюдается с увеличением содержания хрома (рис. 4), можно объяснить уменьшением магнитной щели за счет усиления экранирования обменного взаимодействия, ответственного за магнитное упорядочение [8].

#### Л и т е р а т у р а

- [1] Винцельберг Х., Хайнрих А., Цис Г., Шуманн И., Элефант Д., Гладун Х. Тезисы докладов на XXIV Международной конференции стран—членов СЭВ по физике низких температур, 1985, ГДР, Берлин, с. 168—169.
- [2] Mēbius A., Vinselberg H., Gladun C., Heinrich A., Elefant D., Shumann J., Zies G. J. Phys. C, Sol. St. Phys., 1985, vol. 18, p. 3337—3355.
- [3] Mēbius A. J. Phys. C, Sol. St. Phys., 1985, vol. 18, N 17, p. 4639—4670.
- [4] Алешин А. Н., Гуц З. А., Ионов А. Н., Шлимак И. С. ФТП, 1986, т. 20, № 3, с. 390—394.
- [5] Забродский А. Г., Шлимак И. С. ФТП, 1975, т. 9, № 3, с. 587—589.
- [6] Шкловский Б. И., Эфрос А. Л. Электронные свойства легированных полупроводников. М.: Наука, 1979. 416 с.
- [7] Мотт Н., Дэвис Э. Электронные процессы в некристаллических веществах. М.: Мир, 1982. 663 с.
- [8] Метфесель З., Маттис Д. Магнитные полупроводники. М.: Мир, 1972. 405 с.